

КАЛЬКУЛЯТОР КОРНЕЙ НЕЯВНЫХ ФУНКЦИЙ НА БАЗЕ МЕТОДА ЧЕБЫШЕВА 4-ГО ПОРЯДКА С ИСПОЛЬЗОВАНИЕМ ГИПЕР-ДУАЛЬНЫХ ЧИСЕЛ

Представляемый пилотный проект является интерактивным (online) калькулятором позволяющим вычисление локального корня (с точностью 15 знаков после запятой) неявной плоской функции и некоторых его дифференциальных характеристик.

Неявная (implicit) плоская функция – это функция, описывающая плоскость в виде неявного уравнения $f(x, y) = 0$. Это неявное уравнение связывает две координатные переменные и определяет плоскую неявную кривую. В общем случае любая плоская неявная кривая задаётся указанным уравнением. Следовательно, неявная функция может рассматриваться как множество нулей функции от двух переменных. Неявные функции возникают в различных областях, включая физику, экономику и инженерию. Они позволяют моделировать сложные взаимосвязи между переменными. В этом случае, одной из актуальных задач является задача определения корней уравнения $f(x, y) = 0$, которая формулируется так: найти решение указанного уравнения при разных значениях $x = x^*$.

Учитывая тот факт, что функция $f(x, y)$ может быть сложной композитной функцией, аналитическое решение которой весьма затруднительно или вообще невозможно, на практике применяют различные численные итерационные методы. Например, метод Чебышева 4-го порядка [1], итерационная формула которого имеет вид:

$$y_{i+1} = y_i - [1 + (L_i + L_i^2)/2 - K_i/6]D_i, \quad i = 0, 1, 2, \dots, \quad (1)$$

где: $L_i = D_i \cdot f''(x^*, y_i) / f'(x^*, y_i)$, $K_i = D_i^2 \cdot f'''(x^*, y_i) / f'(x^*, y_i)$, $D_i = f(x^*, y_i) / f'(x^*, y_i)$,

$$f'(x^*, y) = \frac{\partial f(x^*, y)}{\partial y}, \quad f''(x^*, y) = \frac{\partial^2 f(x^*, y)}{\partial y^2}, \quad f'''(x^*, y) = \frac{\partial^3 f(x^*, y)}{\partial y^3}$$

Если положить $L_i^2 = K_i = 0$, то получим формулу Чебышева с кубической сходимостью, а при $L_i = L_i^2 = K_i = 0$ формулу Ньютона с квадратичной сходимостью.

Первым требованием к реализации итерационной формулы (1) служит условие $f'(x^*, y) \neq 0$ на рассматриваемом интервале $[a, b]$. Второе требование связано с необходимостью наличия способа вычисления $f(x^*, y)$, $f'(x^*, y)$, $f''(x^*, y)$ и $f'''(x^*, y)$ когда $f(x^*, y)$ имеет сложное аналитическое выражение или представлена сложным программный кодом. В этом случае, как правило, используются методы численного дифференцирования с

применением различных моделей аппроксимации. Последнее приводит к возникновению неустранимой вычислительной погрешности, связанной с погрешностью самой модели аппроксимации.

С появлением современных вычислительных устройств и высокоуровневых алгоритмических языков программирования, позволяющих работать с нестандартными типами данных, стал успешно применяться метод автоматического дифференцирования (AD) [2], суть которого заключается в создании нового типа данных и переопределение операций и базовых функций над ними. Этот подход позволяет вычислять точные (с машинной точностью) значения функции и ее производных. Если использовать гипер-дуальные числа третьего класса (HDN3) [3], то за одно обращение к перезагруженной функции вычисляются значения самой функции и её первых трех производных.

Гипер-дуальные числа (HDN3) находят достаточно широкое применение в самых разнообразных задачах прикладной математики (см., например, веб-ресурс: [HDN3](#)).

Эти числа (HDN3) имеют представление в виде $X = x + x_1\epsilon + x_2\omega + x_3\gamma$, $(x, x_1, x_2, x_3) \in \mathbb{R}$. Параметр x называется главной (*Re* - действительной) частью гипер-дуального числа, а x_1, x_2, x_3 - его мнимыми (*Im1, Im2, Im3* - инфинитезимальными) частями. Абстрактные элементы ϵ, ω, γ образуют базис мнимых частей гипер-дуального числа, отвечающий следующими правилам: $\epsilon^2 = 2\omega$, $\epsilon\omega = 3\gamma$, $\epsilon\gamma = \omega\gamma = \gamma^2 = \omega^2 = 0$. Алгебраические операции над дуальными числами HDN3 определяются формулами:

$$\begin{aligned} X &= x + x_1\epsilon + x_2\omega + x_3\gamma, & Y &= y + y_1\epsilon + y_2\omega + y_3\gamma \\ X + Y &= x + y + (x_1 + y_1)\epsilon + (x_2 + y_2)\omega + (x_3 + y_3)\gamma, \\ X \cdot Y &= x \cdot y + (x \cdot y_1 + y \cdot x_1)\epsilon + (x \cdot y_2 + 2x_1 \cdot y_1 + y \cdot x_2)\omega + (x \cdot y_3 + y \cdot x_3 + 3(x_1 \cdot y_2 + y_1 \cdot x_2))\gamma, \\ Y^{-1} &= x^{-1} - x^{-2} \cdot x_1\epsilon + x^{-2} (2 \cdot x_1^2 \cdot x^{-1} - x_2)\omega + a^{-2} (6x_1 \cdot x^{-1} (x_2 - x_1^2 \cdot x^{-1}) - x_3)\gamma, \\ X/Y &= X \cdot Y^{-1}, \end{aligned} \tag{2}$$

а функция 2-х гипер-дуальных аргументов HDN3, после ее разложения в ряд Тейлора, имеет вид:

$$\begin{aligned} F(X, Y) &= f + \\ &+ [x_1 f'_x + y_1 f'_y] \epsilon + \\ &+ [x_2 f''_x + y_2 f''_y + x_1^2 f''_{xx} + y_1^2 f''_{yy} + 2x_1 y_1 f''_{xy}] \omega + \\ &+ [x_3 f'''_x + y_3 f'''_y + x_1^3 f'''_{xxx} + y_1^3 f'''_{yyy} + 3(x_1 x_2 f''_{xx} + y_1 y_2 f''_{yy} + \\ &+ (x_1 y_2 + x_2 y_1) f''_{xy} + x_1^2 y_1 f'''_{xxy} + x_1 y_1^2 f'''_{xyy})] \gamma, \end{aligned} \tag{3}$$

где f, f', f'', f''' - функция и ее соответствующие частные производные в точке (x, y) . Разные комбинации x_1, x_2, x_3, y_1, y_2 и y_3 позволяют сохранить в (3) те либо иные

члены. Наиболее актуальные комбинации (фильтры) x_k и y_k (dX , dY и dXY) приведены в следующей таблице:

	X, Y	$F(X, Y)$
dX	$X = (x, 1, 0, 0), Y = (y, 0, 0, 0)$	$f + f'_x \varepsilon + f''_{xx} \omega + f'''_{xxx} \gamma$
dY	$X = (x, 0, 0, 0), Y = (y, 1, 0, 0)$	$f + f'_y \varepsilon + f''_{yy} \omega + f'''_{yyy} \gamma$
dXY	$X = (x, 1, 0, 0), Y = (y, 1, 0, 0)$	$f + [f'_x + f'_y] \varepsilon + [f''_{xx} + 2f''_{xy} + f''_{yy}] \omega + [f'''_{xxx} + f'''_{yyy} + 3(f'''_{xxy} + f'''_{xyy})] \gamma$

Таблица 1. Актуальные фильтры dX , dY и dXY для HDN3

Из таблицы 1 видно, что главные части dX , dY и dXY содержат значение функции в точке (x, y) , а мнимые части – частные производные:

- $Im_1(dX) = f'_x, Im_2(dX) = f''_{xx}, Im_3(dX) = f'''_{xxx}$
- $Im_1(dY) = f'_y, Im_2(dY) = f''_{yy}, Im_3(dY) = f'''_{yyy}$
- $Im_1(dXY) = f'_x + f'_y, Im_2(dXY) = f''_{xx} + 2f''_{xy} + f''_{yy}, Im_3(dXY) = f'''_{xxx} + f'''_{yyy} + 3(f'''_{xxy} + f'''_{xyy})$

Если исходная функция удовлетворяет условиям теоремы Шварца [4], т.е. порядок дифференцирования не имеет значения, то $f''_{xy} = f''_{yx}$ и

$$\begin{aligned} f'_x &= Im_1(dX), & f'_y &= Im_1(dY), \\ f''_{xx} &= Im_2(dX), & f''_{yy} &= Im_2(dY), \\ f'''_{xxx} &= Im_3(dX), & f'''_{yyy} &= Im_3(dY), \\ f''_{xy} &= f''_{yx} = [Im_2(dXY) - Im_2(dX) - Im_2(dY)]/2 \end{aligned}$$

Для вычисления f'''_{xyy} и f'''_{xxy} введем фильтр $dXY^- = dXY$ при $X = (x, 1, 0, 0)$, $Y = (y, -1, 0, 0)$, тогда сумма и разность dXY и dXY^- равны

$$dXY + dXY^- = 2\{f + [f'''_{xxx} + 3f'''_{xxy}] \gamma\}, \quad dXY - dXY^- = 2[f'''_{yyy} + 3f'''_{xyy}] \gamma\},$$

откуда

$$f'''_{xyy} = [Im_3(dXY + dXY^- - Im_3(dX))]/3, \quad f'''_{xxy} = [Im_3(dXY - dXY^- - Im_3(dY))]/3$$

На практике использование AD предполагает что целевая функция $f(x, y)$ уже определена до этапа компиляции программы. Для возможности изменения целевой функции во время работы уже откомпилированной программы будем использовать парсинг/разбор математического выражения. Ниже представлена функциональная схема предлагаемого калькулятора.

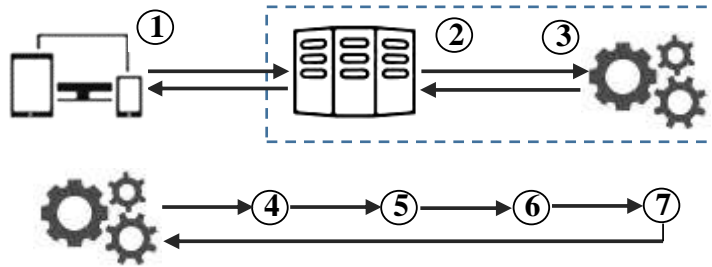


Рис.1. Функциональна схема калькулятора

На рис.1:

- ① – интерфейс пользователя из которого осуществляется запрос к веб-серверу;
- ② – веб-сервер;
- ③ – блок решения задачи;
- ④ – анализ и форматирование строки математического выражения;
- ⑤ – разбор математического выражения;
- ⑥ – токенизация выражения в формате польской нотации (RPN);
- ⑦ – вычисление токенизированного выражения с использованием автоматического дифференцирования (AD) на базе гипер-дуальных чисел (HDN3) и выполнения итерационной формулы (1);

Для реализации блока ③ используются библиотеки Sdn3Lib.dll и MathParserVIO.dll, написанные на C#, осуществляющие поддержку HDN3 и парсинг исходного строкового выражения функции $f(x, y)$ соответственно. На веб-сервер также реализован метод Чебышева (1) и ряд вспомогательных процедур.

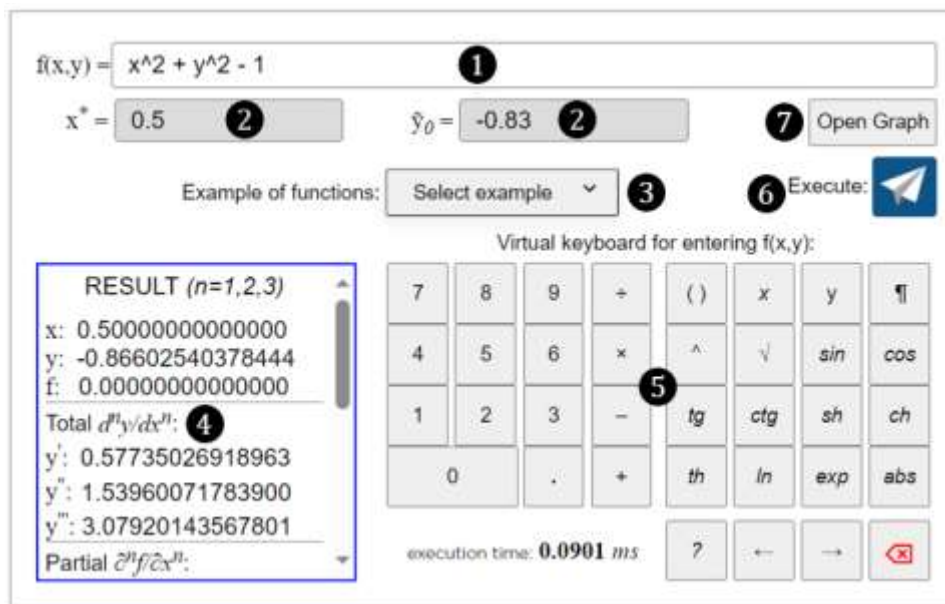


Рис.2. Интерфейс пользователя

Интерфейс пользователя представлен на рис. 2.

- ① - поле ввода функции $f(x, y) = 0$;
- ② - поля ввода (x^*, \tilde{y}_0) (осуществляются через графический калькулятор ⑦);
- ③ - список примеров функций (ввод выбранного примера функции в поле ①);
- ④ - блок результатов расчета;
- ⑤ - клавиатура ввода функции $f(x, y)$ в поле ①;
- ⑥ - кнопка выполнения расчёта;
- ⑦ - кнопка открытия графического калькулятора;

Исходными данными служат три величины: строковое выражение функции $f(x, y)$, величины x^* и \tilde{y}_0 (где: x^* – заданное значение x ; \tilde{y}_0 – начальное приближение для метода Чебышева). Определение хорошего начального приближения \tilde{y}_0 для любых итерационных процессов является весьма важной, сложной и трудно выполнимой задачей. Наиболее часто применяется анализ графика исходной функции. Для этой цели, используя графический пакет [JSXGraph](#) на базе Scalable Vector Graphics (SVG), разработан графический калькулятор, интерфейс которого приведен на рис.3.

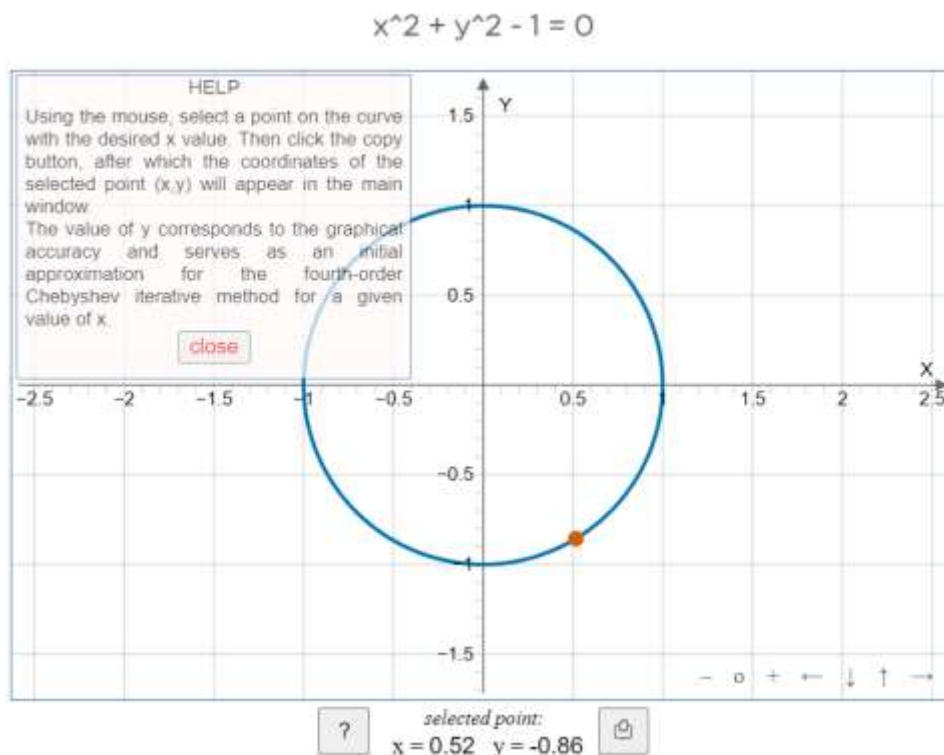


Рис.3. Интерфейс графического калькулятора

С помощью «мыши», перемещая указатель можно выбрать точку на кривой $f(x, y)$ с нужным значением x , после чего в полях ② интерфейса пользователя

появятся координаты выбранной точки (x, y) . Значение y соответствует графической точности и служит начальным приближением \tilde{y}_0 для итерационного метода Чебышева четвертого порядка при заданном значении x^* , который обеспечивает точность результата до 15 знаков после запятой за минимальное количество итераций.

Результатами расчета являются: x^* , $y(x^*)$, $f(x^*, y)$, $y'(x^*)$, $y''(x^*)$, $y'''(x^*)$, $f'_x(x^*, y)$, $f''_x(x^*, y)$, $f'''_x(x^*, y)$, $f'_y(x^*, y)$, $f''_y(x^*, y)$, $f'''_y(x^*, y)$, $\kappa(x^*, y)$, $R(x^*, y)$,
runtime, *iterations*.

Для нахождения частных производных используются фильтры dX , dY (см.табл.1) и dXY^- . Вычисление полных производных y'_x и y''_x осуществляется по формулам аналогичным [5]:

$$y'_x = -\frac{f'_x}{f'_y}, \quad y''_x = -\frac{f''_x + 2f''_{xy} \cdot y'_x + f''_y \cdot y'^2_x}{f'_y}$$

Полное выражение для y'''_x весьма громоздко и поэтому здесь не приводится. Искусственный интеллект [Copilot AI](#) предлагает заметно упрощенную формулу для y'''_x :

$$y'''_x := \frac{\varphi_1 - \varphi_2}{f_y^2},$$

где:

$$\varphi_1 = f''_{xy} (f''_x + 2f''_{xy} \cdot y'_x + f''_y \cdot y'^2_x),$$

$$\varphi_2 = f'_y [f'''_x + 2(y'_x \cdot f'''_{xy} + y''_x \cdot f''_{xy}) + f'''_{xy} \cdot y'^2_x + 2f''_y \cdot y'_x \cdot y''_x]$$

Заметим, что полные производные неявных функций находят широкое применение: в оптимизации, экономике, физике, технике, дифференциальной геометрии, эконометрических моделях и других научно-технических областях.

И, наконец, кривизна кривой в точке (x^*, y) находится согласно [6] с использованием фильтров dX , dY , dXY :

$$\kappa = (-f'_y \ f'_x) \cdot \begin{pmatrix} f''_x & f''_{xy} \\ f''_{xy} & f''_y \end{pmatrix} \cdot \begin{pmatrix} -f_y \\ f_x \end{pmatrix} / (f_x'^2 + f_y'^2)^{3/2} = \frac{f_x'^2 \cdot f_y'' - 2f'_x \cdot f'_y \cdot f''_{xy} + f_y'^2 \cdot f_x''}{(f_x'^2 + f_y'^2)^{3/2}},$$

а радиус кривизны $R = 1/|\kappa|$.

Подводя итоги, отметим:

- Интерфас пользователя выполнен на ASP.NET C#. Для реализации 3-го блока решения задачи (см. рис. 1) на языке C# разработаны две статические библиотеки Sdn3Lib.dll и MathParserVIO.dll. Первая из них реализует гипердуальные числа (HDN3), а вторая – парсинг строки исходного математического выражения.
- Графический калькулятор для определения начального приближения $\tilde{y}_0(x^*)$ разработан на основе графического пакета [JSXGraph](#).

- Для тестируемых примеров, в зависимости от сложности исходной функции, время выполнения запроса находилось в диапазоне $0.03 \div 8.0$ ms. Точность получаемых результатов составляет 15 знаков после запятой.
- Рабочая версия представленного калькулятора находится по адресу [Calculator Imp.](#)

Литература

1. *Олифер В. И.* Численное исследование метода чебышева 4-го порядка с использованием супер-дуальных чисел 3-го класса. – URL:http://viosolutions.amerihomesrealty.com/pdf/численное_исследование_метода_чебышева_4-го_порядка.pdf, 2023.
2. *Fike J.A.* Multi-objective optimization using hyper-dual numbers. Ph.D. Dissertation, Stanford University, 2013.
3. *Олифер В. И.* Автоматическое дифференцирование на основе супер-дуальных чисел. – URL:http://viosolutions.amerihomesrealty.com/pdf/Автоматическое_дифференцирование_на_основе_супер-дуальных_чисел.pdf, 2020.
4. *Тер-Криков А. М., Шабунин М. И.* Курс математического анализа. – Изд-во физмат-лит., М., 2001. – 672 с.
5. *Олифер В. И.* К численному решению неявных функций с использованием гипер-дуальных чисел. – URL:http://viosolutions.amerihomesrealty.com/pdf/Неявные_функции_z.pdf, 2020.
6. *Goldman R.* Curvature formulas for implicit curves and surfaces. – Computer Aided Geometric Design 22 (2005) 632–658.

Абстракт

В данной публикации рассматривается пилотный проект интерактивного (online) калькулятора, позволяющего вычисление значения локального корня невной функции и её первых трех частных и полных производных. Решение строится на основе автоматического дифференцирования с использованием специальных дуальных чисел (супер-дуальных чисел 3-го класса), итерационной процедуры Чебышева четвертого порядка и парсинга строкового математического выражения.

This publication discusses a pilot project of an interactive (online) calculator that allows calculating the value of a local root of a variable implicit function and its first three partial and total derivatives. The solution is based on automatic differentiation using special dual numbers (super-dual numbers of the 3rd class), the fourth-order Chebyshev iteration procedure, and parsing of a string mathematical expression..

Ключевые слова: *дуальные числа, гипер-дуальные числа, супер-дуальные числа, автоматическое дифференцирование, калькулятор, корни неявного уравнения, метод Чебышева, парсинг, токенизация, dual numbers, hyper-dual numbers, super-dual numbers, automatic differentiation, calculator, roots of an implicit equation, Chebyshev's method, parsing, tokenization*

20 декабря 2024 г.